



NATA LIGHTING CO.,LTD.
www.nata.cn
Email:info@nata.com
Tel:+86-750-3770000 Fax:+86-750-3771111
Address:380JinOu Road,GaoXin Zone,Jiang Men City,Guangdong,China

NT

Client:

LumCAT: 1-1375-L

Luminaire: 92.70.409.00

Report No: 20231208-B020

Ballast type: AC

Test No: 20231205-C020

Voltage(V): 35.140

LampCAT: LUXEON COB 1202S LES6

Current(A): 0.208

Lamp flux(lm): 928.9

Power (W): 7.309

Number of Lamps: 1

PF: 0.000

Length(mm): 0

Width(mm): 0

Phm Type: C

Height(mm): 0

Photometric Results

Lumens(lm): 867.41, Efficiency(%): 93.39% , Luminous Efficacy(lm/W): 118.68

Central intensity(cd): 1967.820, Maximum intensity(cd): 1967.820

Angle of maximum intensity: C=0.0 γ =0.0

Beam Angle(50%Imax): [C0/180]Total=38.0

[C90/270]Total=38.0

Field angle(10%Imax): [C0/180]Total=61.4

[C90/270]Total=61.4

Maximum s/h(1/2): C0_180=0.62 C90_270=0.62

Maximum s/h(1/4): C0_180=0.61 C90_270=0.61

Up flux rate of lamp(%): 0.00%

Down flux rate of lamp(%): 93.39%

Up flux rate of LUM(%): - -

Down flux rate of LUM(%): 100.00%

CIE Type : Direct lighting

Output flux ratio in π solid angle : 98.099%

$\gamma(^{\circ})$	Average I(cd)	Zonal F(lm)	Sum F(lm)	Eff Flux(%)	Eff Sum(%)
0.0	1967.820	0.000	0	0.00%	0.00%
1.0	1964.707	1.882	1.882	0.20%	0.22%
2.0	1957.649	5.630	7.511	0.61%	0.87%
3.0	1949.346	9.344	16.856	1.01%	1.94%
4.0	1936.200	13.006	29.862	1.40%	3.44%
5.0	1920.078	16.590	46.451	1.79%	5.36%
6.0	1899.044	20.070	66.522	2.16%	7.67%
7.0	1868.392	23.384	89.906	2.52%	10.36%
8.0	1833.865	26.496	116.403	2.85%	13.42%
9.0	1787.299	29.348	145.75	3.16%	16.80%
10.0	1734.021	31.867	177.617	3.43%	20.48%
11.0	1668.634	34.000	211.616	3.66%	24.40%
12.0	1596.951	35.698	247.314	3.84%	28.51%
13.0	1518.418	36.972	284.285	3.98%	32.77%
14.0	1425.909	37.687	321.972	4.06%	37.12%
15.0	1326.162	37.782	359.754	4.07%	41.47%
16.0	1246.314	37.694	397.448	4.06%	45.82%
17.0	1138.118	37.132	434.58	4.00%	50.10%
18.0	1072.317	36.445	471.025	3.92%	54.30%
19.0	987.647	35.839	506.865	3.86%	58.43%
20.0	897.946	34.512	541.376	3.72%	62.41%
21.0	814.798	32.888	574.264	3.54%	66.20%
22.0	733.062	31.105	605.369	3.35%	69.79%
23.0	657.608	29.180	634.549	3.14%	73.15%
24.0	577.608	27.006	661.555	2.91%	76.27%
25.0	508.077	24.686	686.242	2.66%	79.11%
26.0	439.757	22.374	708.615	2.41%	81.69%
27.0	372.322	19.868	728.483	2.14%	83.98%
28.0	313.232	17.357	745.84	1.87%	85.98%
29.0	270.575	15.274	761.114	1.64%	87.75%
30.0	224.293	13.361	774.475	1.44%	89.29%
31.0	185.352	11.400	785.875	1.23%	90.60%
32.0	144.196	9.441	795.316	1.02%	91.69%
33.0	113.046	7.578	802.895	0.82%	92.56%
34.0	92.288	6.214	809.109	0.67%	93.28%
35.0	75.080	5.198	814.306	0.56%	93.88%
36.0	61.276	4.342	818.648	0.47%	94.38%
37.0	49.804	3.623	822.271	0.39%	94.80%

$\gamma(^{\circ})$	Average I(cd)	Zonal F(lm)	Sum F(lm)	Eff Flux(%)	Eff Sum(%)
38.0	41.328	3.042	825.313	0.33%	95.15%
39.0	34.215	2.579	827.891	0.28%	95.44%
40.0	28.825	2.199	830.09	0.24%	95.70%
41.0	24.715	1.907	831.996	0.21%	95.92%
42.0	21.325	1.673	833.669	0.18%	96.11%
43.0	18.993	1.494	835.163	0.16%	96.28%
44.0	16.966	1.357	836.52	0.15%	96.44%
45.0	15.368	1.243	837.762	0.13%	96.58%
46.0	14.157	1.155	838.917	0.12%	96.72%
47.0	13.146	1.086	840.003	0.12%	96.84%
48.0	12.323	1.030	841.033	0.11%	96.96%
49.0	11.603	0.983	842.015	0.11%	97.07%
50.0	11.002	0.942	842.958	0.10%	97.18%
51.0	10.420	0.906	843.864	0.10%	97.29%
52.0	9.915	0.873	844.737	0.09%	97.39%
53.0	9.479	0.844	845.58	0.09%	97.48%
54.0	9.113	0.819	846.4	0.09%	97.58%
55.0	8.767	0.798	847.198	0.09%	97.67%
56.0	8.455	0.778	847.976	0.08%	97.76%
57.0	8.178	0.761	848.737	0.08%	97.85%
58.0	7.909	0.744	849.48	0.08%	97.93%
59.0	7.666	0.728	850.209	0.08%	98.02%
60.0	7.459	0.715	850.923	0.08%	98.10%
61.0	7.244	0.702	851.625	0.08%	98.18%
62.0	7.071	0.690	852.315	0.07%	98.26%
63.0	6.885	0.679	852.993	0.07%	98.34%
64.0	6.712	0.667	853.661	0.07%	98.41%
65.0	6.559	0.657	854.317	0.07%	98.49%
66.0	6.421	0.648	854.965	0.07%	98.57%
67.0	6.269	0.638	855.603	0.07%	98.64%
68.0	6.137	0.628	856.232	0.07%	98.71%
69.0	5.992	0.619	856.85	0.07%	98.78%
70.0	5.854	0.608	857.459	0.07%	98.85%
71.0	5.722	0.598	858.057	0.06%	98.92%
72.0	5.584	0.588	858.645	0.06%	98.99%
73.0	5.452	0.577	859.222	0.06%	99.06%
74.0	5.328	0.567	859.789	0.06%	99.12%
75.0	5.189	0.556	860.344	0.06%	99.19%

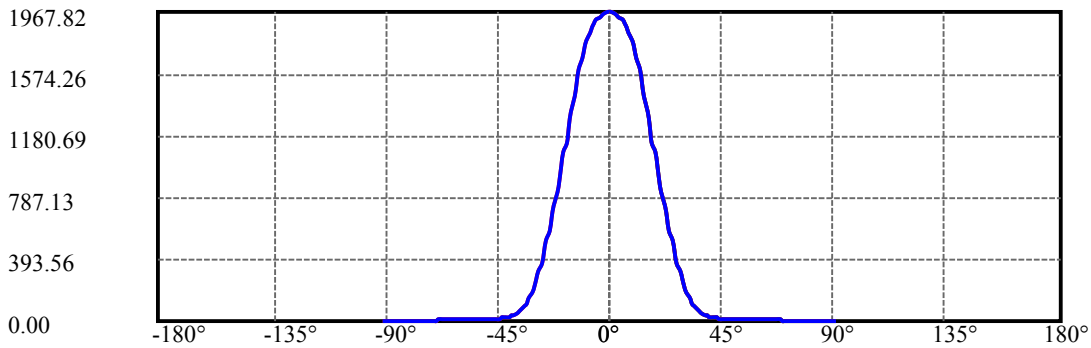
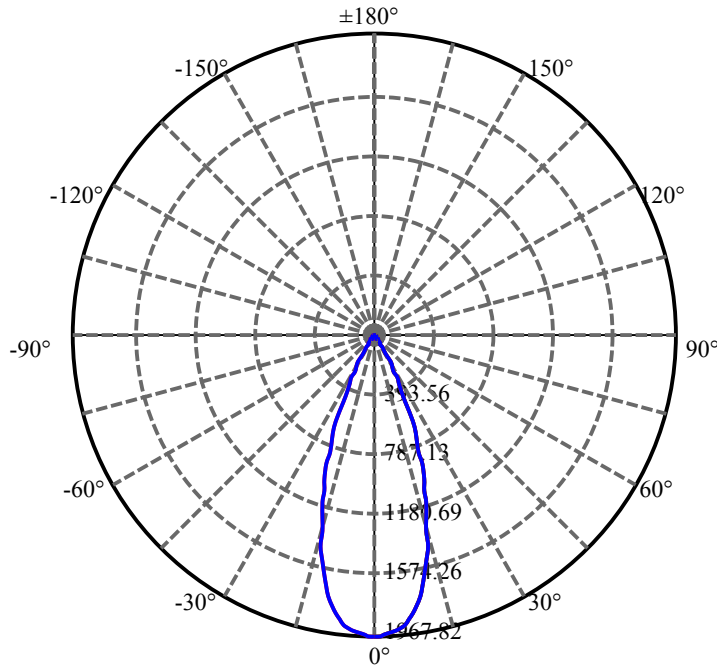
$\gamma(^{\circ})$	Average I(cd)	Zonal F(lm)	Sum F(lm)	Eff Flux(%)	Eff Sum(%)
76.0	5.065	0.544	860.889	0.06%	99.25%
77.0	4.933	0.533	861.422	0.06%	99.31%
78.0	4.802	0.521	861.943	0.06%	99.37%
79.0	4.684	0.510	862.453	0.05%	99.43%
80.0	4.567	0.499	862.951	0.05%	99.49%
81.0	4.449	0.488	863.439	0.05%	99.54%
82.0	4.345	0.477	863.916	0.05%	99.60%
83.0	4.235	0.466	864.382	0.05%	99.65%
84.0	4.138	0.456	864.838	0.05%	99.70%
85.0	4.048	0.447	865.285	0.05%	99.75%
86.0	3.985	0.439	865.724	0.05%	99.81%
87.0	3.902	0.432	866.156	0.05%	99.86%
88.0	3.833	0.424	866.58	0.05%	99.90%
89.0	3.792	0.418	866.998	0.04%	99.95%
90.0	3.757	0.414	867.411	0.04%	100.00%

ZONAL LUMEN SUMMARY

Zone	Lumens	%Lamp	%Fixt
0-30	774.48	83.38%	89.29%
0-40	830.09	89.37%	95.70%
0-60	850.92	91.61%	98.10%
0-90	867.00	93.34%	99.95%
0-120	867.00	93.34%	99.95%
0-180	867.41	93.39%	100.00%
60-90	16.07	1.73%	1.85%
90-120	0.00	0.00%	0.00%
90-130	0.00	0.00%	0.00%
90-150	0.00	0.00%	0.00%
90-180	0.00	0.00%	0.00%
0-25.34	693.93	74.71%	80.00%

ZONAL LUMEN SUMMARY

0-10	177.62
10-20	363.76
20-30	233.10
30-40	55.61
40-50	12.87
50-60	7.97
60-70	6.54
70-80	5.49
80-90	4.05
90-100	0.00
100-110	0.00
110-120	0.00
120-130	0.00
130-140	0.00
140-150	0.00
150-160	0.00
160-170	0.00
170-180	0.00



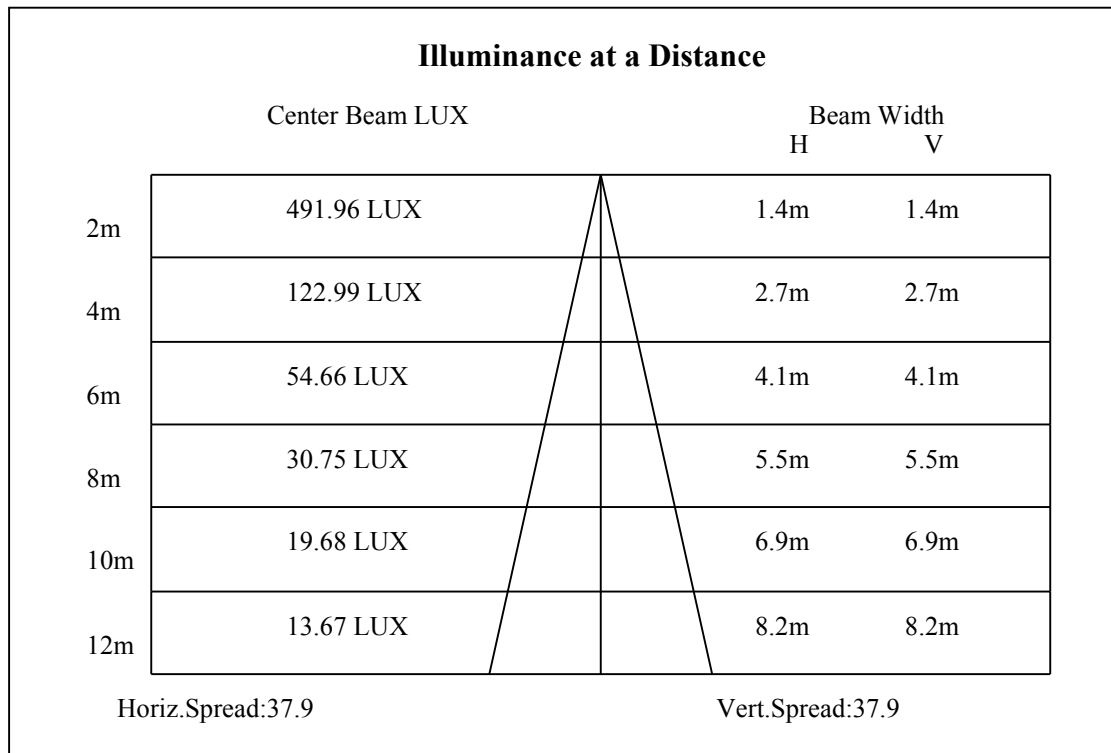
C0(Max): —————

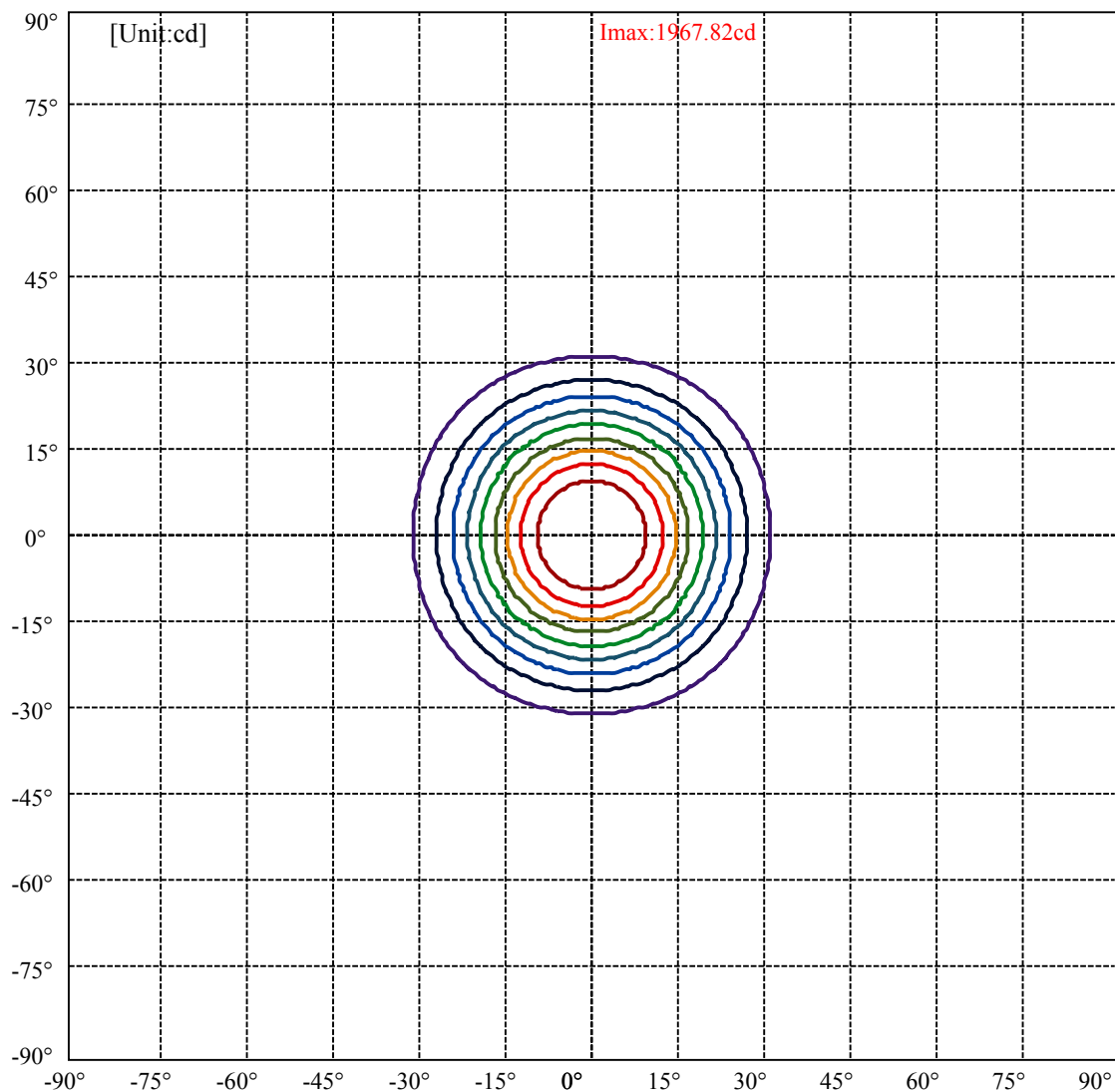
C0/C180: —————

C90/C270: —————

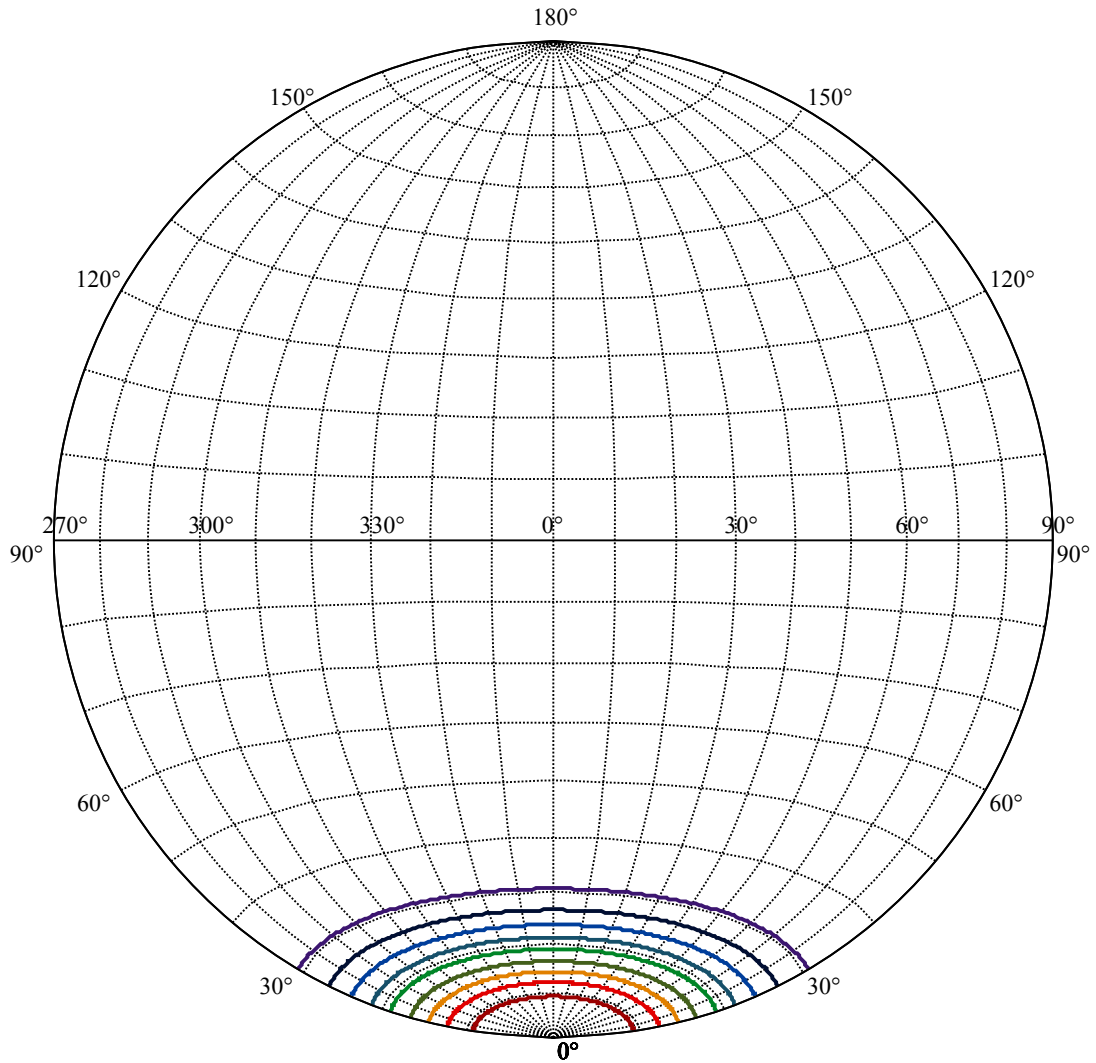
Field angle(10%Imax):C0/180Left:30.7 Right:30.7
:C90/270Left:30.7 Right:30.7

Beam Angle(50%Imax):C0/180Left:19.0 Right:19.0
:C90/270Left:19.0 Right:19.0





(10%I _{max}) 196.782	—
(20%I _{max}) 393.564	—
(30%I _{max}) 590.346	—
(40%I _{max}) 787.128	—
(50%I _{max}) 983.91	—
(60%I _{max}) 1180.69	—
(70%I _{max}) 1377.47	—
(80%I _{max}) 1574.26	—
(90%I _{max}) 1771.04	—



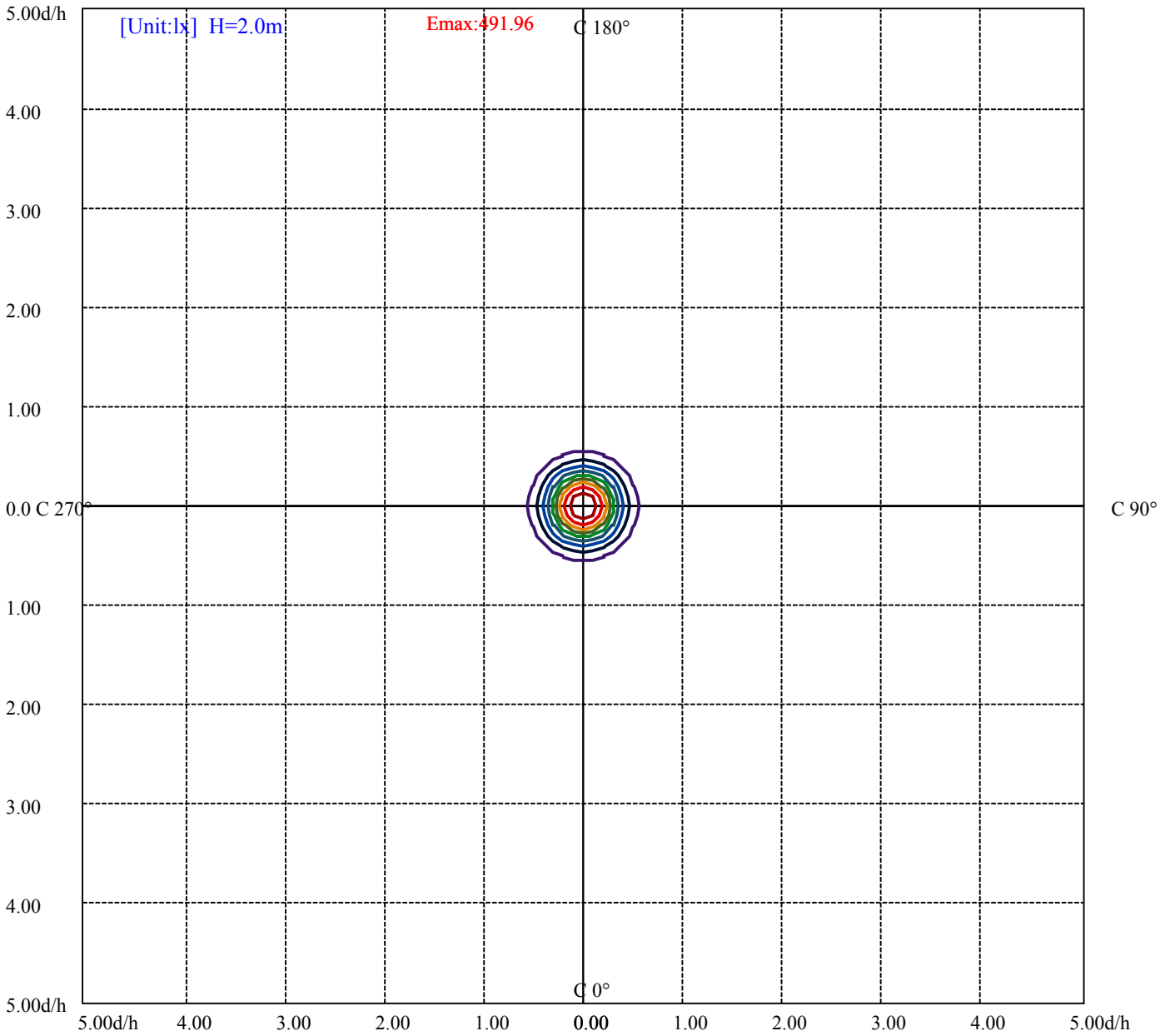
House

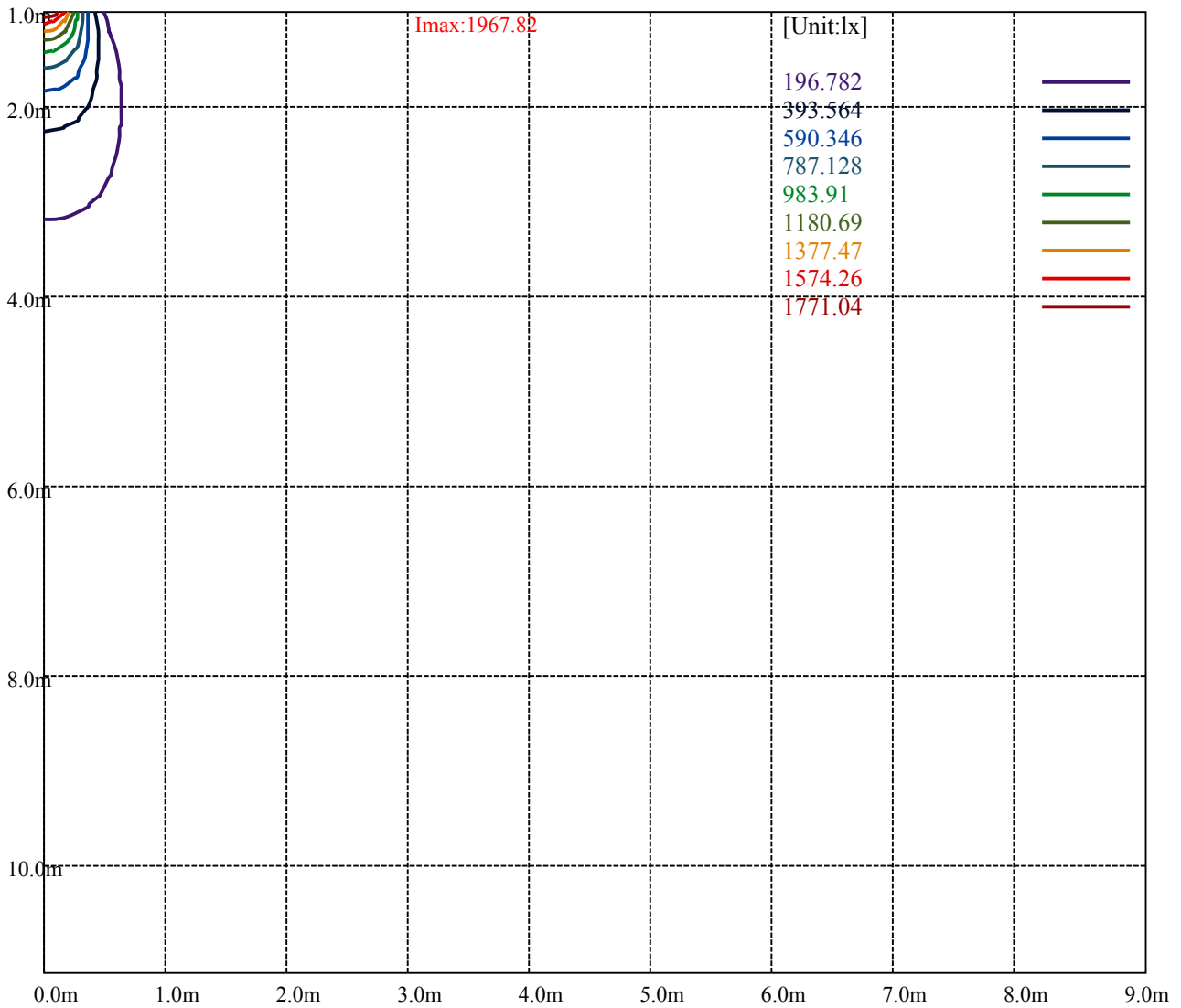
[Unit:cd]

Road

Imax:1967.82

(10%Imax) 196.782	—
(20%Imax) 393.564	—
(30%Imax) 590.346	—
(40%Imax) 787.128	—
(50%Imax) 983.91	—
(60%Imax) 1180.69	—
(70%Imax) 1377.47	—
(80%Imax) 1574.26	—
(90%Imax) 1771.04	—





Luminance Table

γ	45	50	55	60	65	70	75	80	85
C0	0	0	0	0	0	0	0	0	0
C45	0	0	0	0	0	0	0	0	0
C90	0	0	0	0	0	0	0	0	0

L(Hor)(65)	L(Ver)(65)	L45(65)	L(Hor)(75)	L(Ver)(75)	L45(75)	L(Hor)(85)	L(Ver)(85)	L45(85)
0	0	0	0	0	0	0	0	0

Glare Table

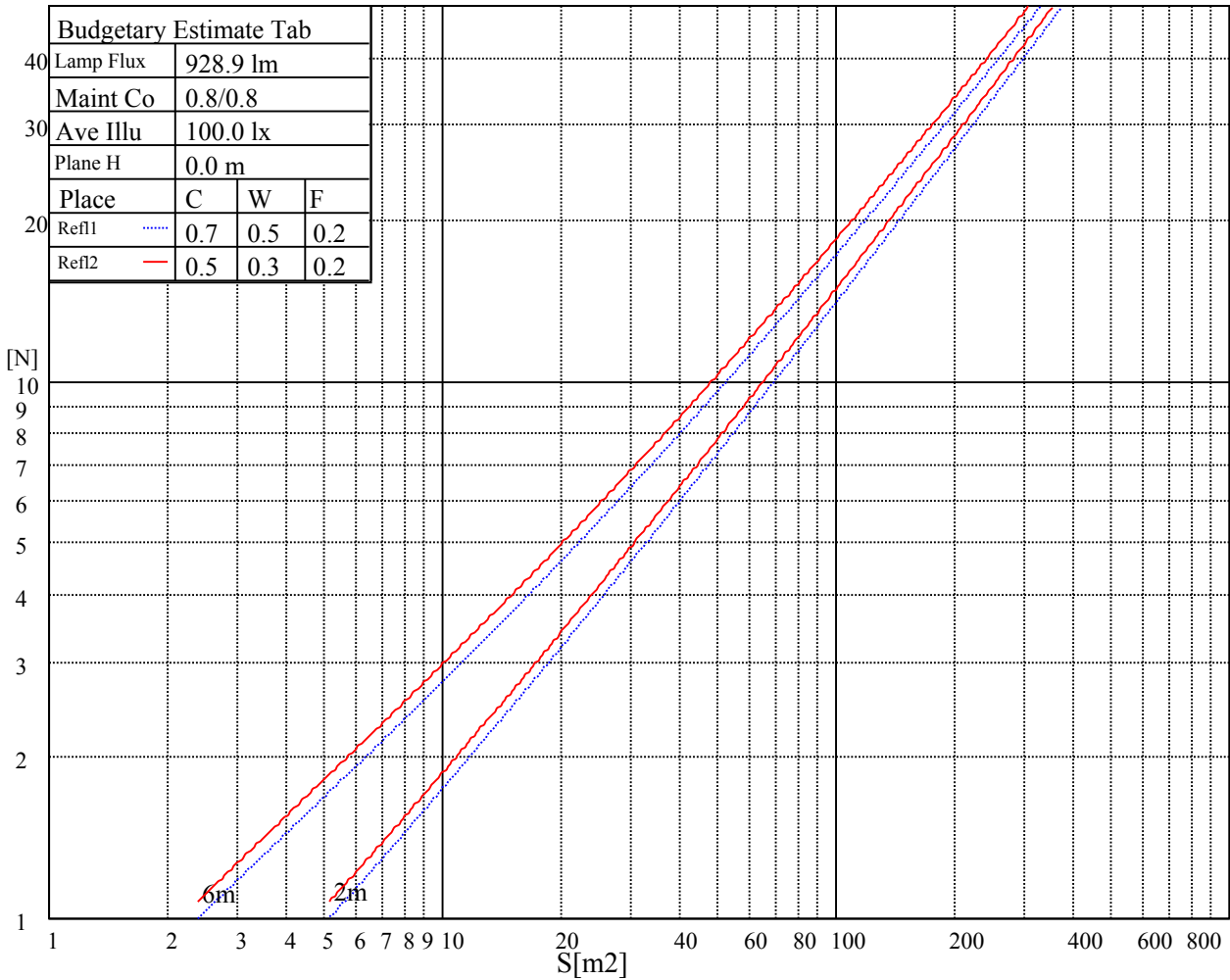
Glare	Quality	Service Values Illuminance(lx)							
1.15	A	2000	1000	500	<=300				
1.5	B		2000	1000	500	<=300			
1.85	C			2000	1000	500	<=300		
2.2	D				2000	1000	500	<=300	
2.55	E					2000	1000	500	<=300
		a	b	c	d	e	f	g	h

Luminance Limiting Curve

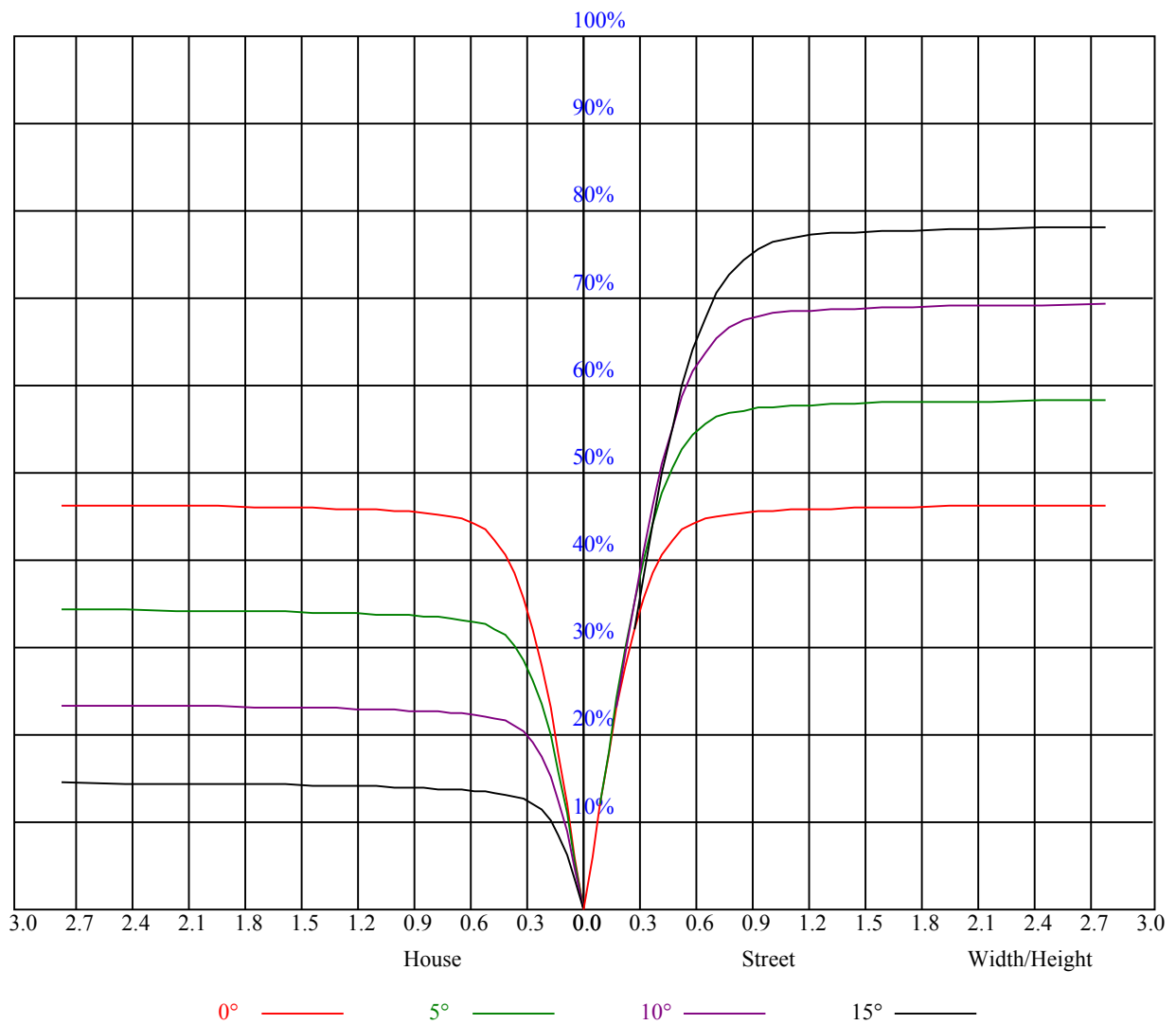


Illumination assessment according UGR											
Rf of Ceiling	70	70	50	50	30	70	70	50	50	30	
Rf of Wall	50	30	50	30	30	50	30	50	30	30	
Rf of Floor	20	20	20	20	20	20	20	20	20	20	
Room dimensions		Viewed crosswise					Viewed endwise				
X	Y										
2H	2H	非数字	非数字	非数字	非数字	非数字	非数字	非数字	非数字	非数字	非数字
	3H	非数字	非数字	非数字	非数字	非数字	非数字	非数字	非数字	非数字	非数字
	4H	非数字	非数字	非数字	非数字	非数字	非数字	非数字	非数字	非数字	非数字
	6H	非数字	非数字	非数字	非数字	非数字	非数字	非数字	非数字	非数字	非数字
	8H	非数字	非数字	非数字	非数字	非数字	非数字	非数字	非数字	非数字	非数字
4H	12H	非数字	非数字	非数字	非数字	非数字	非数字	非数字	非数字	非数字	非数字
	2H	非数字	非数字	非数字	非数字	非数字	非数字	非数字	非数字	非数字	非数字
	3H	非数字	非数字	非数字	非数字	非数字	非数字	非数字	非数字	非数字	非数字
	4H	非数字	非数字	非数字	非数字	非数字	非数字	非数字	非数字	非数字	非数字
	6H	非数字	非数字	非数字	非数字	非数字	非数字	非数字	非数字	非数字	非数字
8H	8H	非数字	非数字	非数字	非数字	非数字	非数字	非数字	非数字	非数字	非数字
	12H	非数字	非数字	非数字	非数字	非数字	非数字	非数字	非数字	非数字	非数字
	4H	非数字	非数字	非数字	非数字	非数字	非数字	非数字	非数字	非数字	非数字
	6H	非数字	非数字	非数字	非数字	非数字	非数字	非数字	非数字	非数字	非数字
	8H	非数字	非数字	非数字	非数字	非数字	非数字	非数字	非数字	非数字	非数字
12H	12H	非数字	非数字	非数字	非数字	非数字	非数字	非数字	非数字	非数字	非数字
	4H	非数字	非数字	非数字	非数字	非数字	非数字	非数字	非数字	非数字	非数字
	6H	非数字	非数字	非数字	非数字	非数字	非数字	非数字	非数字	非数字	非数字
8H	非数字	非数字	非数字	非数字	非数字	非数字	非数字	非数字	非数字	非数字	
Variation with the observer position at spacings:											
S = 1.0H		非数字/非数字					非数字/非数字				
S = 1.5H		非数字/非数字					非数字/非数字				
S = 2.0H		非数字/非数字					非数字/非数字				
Standard tables:		BK0					BK0				
Uncorrected UGR		负无穷大					负无穷大				

UGR calculation is based on CIE Publ. 117 ,S/H = 0.25



RHOCC	80			70			50			30			10			0
RHOW	50	30	10	50	30	10	50	30	10	50	30	10	50	30	10	0
RCR	COEFFICIENTS OF UTILIZATION RHOFC=20 CU															
0	1.11	1.11	1.11	1.09	1.09	1.09	1.04	1.04	1.04	0.99	0.99	0.99	0.95	0.95	0.95	0.93
1	1.04	1.02	1.00	1.02	1.00	0.98	0.98	0.97	0.95	0.95	0.94	0.93	0.92	0.91	0.90	0.88
2	0.98	0.95	0.92	0.97	0.93	0.91	0.94	0.91	0.89	0.91	0.89	0.87	0.88	0.87	0.85	0.84
3	0.93	0.89	0.86	0.92	0.88	0.85	0.89	0.86	0.84	0.87	0.84	0.82	0.85	0.83	0.81	0.80
4	0.88	0.84	0.80	0.87	0.83	0.80	0.85	0.82	0.79	0.83	0.80	0.78	0.82	0.79	0.77	0.76
5	0.84	0.79	0.76	0.83	0.79	0.76	0.82	0.78	0.75	0.80	0.77	0.74	0.79	0.76	0.74	0.73
6	0.80	0.75	0.72	0.79	0.75	0.72	0.78	0.74	0.71	0.77	0.74	0.71	0.76	0.73	0.71	0.69
7	0.77	0.72	0.69	0.76	0.72	0.69	0.75	0.71	0.68	0.74	0.70	0.68	0.73	0.70	0.68	0.66
8	0.74	0.69	0.66	0.73	0.69	0.66	0.72	0.68	0.65	0.71	0.68	0.65	0.70	0.67	0.65	0.64
9	0.71	0.66	0.63	0.70	0.66	0.63	0.69	0.65	0.63	0.69	0.65	0.62	0.68	0.65	0.62	0.61
10	0.68	0.63	0.60	0.68	0.63	0.60	0.67	0.63	0.60	0.66	0.63	0.60	0.66	0.62	0.60	0.59



Intensity data(cd)

C/γ(°)	0.0	1.0	2.0	3.0	4.0	5.0	6.0	7.0	8.0
0.0	1958.96	1943.46	1931.84	1919.66	1901.95	1859.88	1827.78	1787.92	1744.19
45.0	1972.25	1961.18	1944.57	1931.84	1908.59	1884.79	1856.01	1810.62	1766.89
90.0	1970.03	1960.07	1940.70	1922.98	1897.52	1873.17	1840.51	1789.58	1739.76
135.0	1970.03	1972.25	1965.61	1954.54	1944.02	1933.50	1910.25	1885.34	1845.49
180.0	1958.96	1968.93	1972.25	1971.14	1966.71	1964.50	1952.88	1935.72	1919.66
225.0	1972.25	1972.80	1972.80	1971.14	1968.93	1961.73	1946.23	1919.66	1890.33
270.0	1970.03	1973.36	1972.25	1970.03	1962.84	1956.20	1947.34	1933.50	1911.91
315.0	1970.03	1965.61	1961.18	1953.43	1939.04	1926.86	1911.36	1884.79	1852.68
360.0	1958.96	1943.46	1931.84	1919.66	1901.95	1859.88	1827.78	1787.92	1744.19
C/γ(°)	9.0	10.0	11.0	12.0	13.0	14.0	15.0	16.0	17.0
0.0	1673.89	1606.36	1518.90	1442.51	1367.23	1268.15	1084.54	1084.54	1009.82
45.0	1713.75	1652.86	1567.06	1495.65	1422.59	1345.65	1247.12	1171.84	1097.66
90.0	1678.32	1595.29	1521.12	1442.51	1363.91	1208.92	1097.16	1097.16	1018.56
135.0	1801.76	1751.39	1694.37	1606.36	1532.74	1451.92	1366.13	1252.10	1165.19
180.0	1885.90	1854.90	1809.51	1750.28	1671.68	1598.61	1522.78	1438.09	1325.17
225.0	1855.45	1810.06	1739.76	1677.77	1585.88	1506.17	1420.93	1310.77	1084.32
270.0	1884.24	1844.94	1799.55	1744.75	1666.14	1592.52	1517.80	1409.86	1316.86
315.0	1805.08	1756.37	1698.80	1615.77	1537.17	1435.32	1352.84	1206.15	1087.37
360.0	1673.89	1606.36	1518.90	1442.51	1367.23	1268.15	1084.54	1084.54	1009.82
C/γ(°)	18.0	19.0	20.0	21.0	22.0	23.0	24.0	25.0	26.0
0.0	933.98	859.53	784.19	688.60	617.19	546.28	477.37	397.05	336.83
45.0	1004.67	929.94	838.61	766.09	696.35	626.05	540.80	472.72	407.40
90.0	921.69	847.96	775.34	688.88	619.90	551.99	469.90	406.46	345.74
135.0	1081.61	976.99	893.41	813.14	718.49	647.08	559.62	492.65	428.44
180.0	1237.15	1149.69	1037.33	950.42	851.89	774.95	697.46	629.92	546.34
225.0	1084.32	1019.78	935.20	855.10	780.15	688.93	618.24	550.33	486.61
270.0	1227.74	1136.96	1022.38	938.80	859.09	778.27	679.74	606.12	537.48
315.0	1087.37	980.31	897.12	817.35	721.42	647.30	577.73	509.36	429.21
360.0	933.98	859.53	784.19	688.60	617.19	546.28	477.37	397.05	336.83
C/γ(°)	27.0	28.0	29.0	30.0	31.0	32.0	33.0	34.0	35.0
0.0	280.20	220.14	179.68	147.52	115.80	95.48	78.55	61.77	51.15
45.0	343.75	285.62	285.62	181.56	149.79	117.68	97.09	79.82	62.27
90.0	276.21	229.50	189.25	155.43	120.73	98.36	80.21	65.59	51.59
135.0	365.89	295.59	282.86	282.86	164.79	135.17	105.23	85.85	69.80
180.0	477.70	415.71	357.03	288.39	288.39	228.72	160.80	126.82	104.29
225.0	411.22	353.54	298.69	248.70	195.79	161.41	126.87	104.84	86.24
270.0	456.11	394.67	322.16	281.75	281.75	178.52	140.49	117.07	98.20
315.0	367.49	311.09	249.31	208.13	165.78	138.22	115.14	96.54	77.11
360.0	280.20	220.14	179.68	147.52	115.80	95.48	78.55	61.77	51.15
C/γ(°)	36.0	37.0	38.0	39.0	40.0	41.0	42.0	43.0	44.0
0.0	42.68	35.98	29.45	25.46	22.42	19.87	17.38	15.83	14.56
45.0	51.20	40.57	34.04	28.95	24.13	21.20	18.93	17.16	15.67
90.0	43.07	36.37	29.72	25.74	21.86	19.43	17.44	15.83	14.23
135.0	54.36	44.84	37.47	30.44	26.29	23.08	19.87	17.82	16.11
180.0	85.13	66.04	54.47	43.12	36.09	30.56	25.46	22.47	20.20
225.0	67.37	55.46	45.78	38.03	30.56	25.85	22.20	19.43	16.83
270.0	81.92	65.21	54.47	45.28	37.92	30.67	26.18	22.69	19.43
315.0	64.49	53.97	45.22	36.70	31.33	27.07	23.14	20.70	18.71
360.0	42.68	35.98	29.45	25.46	22.42	19.87	17.38	15.83	14.56

Intensity data(cd)

C/γ(°)	45.0	46.0	47.0	48.0	49.0	50.0	51.0	52.0	53.0
0.0	13.23	12.40	11.57	11.02	10.46	10.02	9.58	9.24	8.91
45.0	14.17	13.28	12.51	11.79	11.07	10.57	9.96	9.58	9.24
90.0	13.23	12.40	11.51	10.90	10.41	9.96	9.47	9.08	8.75
135.0	14.45	13.40	12.51	11.79	11.13	10.46	9.96	9.47	9.08
180.0	18.49	16.88	15.83	14.83	14.00	13.28	12.40	11.73	11.02
225.0	15.22	14.00	12.73	11.96	11.29	10.63	10.13	9.63	9.24
270.0	17.38	15.44	14.17	13.12	12.12	11.46	10.85	10.30	9.74
315.0	16.77	15.44	14.34	13.17	12.34	11.62	11.02	10.30	9.85
360.0	13.23	12.40	11.57	11.02	10.46	10.02	9.58	9.24	8.91
C/γ(°)	54.0	55.0	56.0	57.0	58.0	59.0	60.0	61.0	62.0
0.0	8.64	8.36	8.08	7.92	7.64	7.42	7.25	7.09	6.92
45.0	8.80	8.58	8.30	8.03	7.80	7.58	7.36	7.14	6.97
90.0	8.47	8.14	7.92	7.64	7.42	7.25	7.03	6.86	6.70
135.0	8.75	8.47	8.19	7.97	7.69	7.47	7.31	7.09	6.92
180.0	10.46	9.91	9.47	9.08	8.69	8.30	8.03	7.75	7.58
225.0	8.97	8.64	8.36	8.08	7.86	7.64	7.47	7.20	7.03
270.0	9.35	9.02	8.69	8.36	8.08	7.86	7.64	7.47	7.31
315.0	9.47	9.02	8.64	8.36	8.08	7.80	7.58	7.36	7.14
360.0	8.64	8.36	8.08	7.92	7.64	7.42	7.25	7.09	6.92
C/γ(°)	63.0	64.0	65.0	66.0	67.0	68.0	69.0	70.0	71.0
0.0	6.75	6.64	6.48	6.37	6.20	6.03	5.92	5.81	5.65
45.0	6.81	6.70	6.48	6.37	6.25	6.09	5.92	5.81	5.70
90.0	6.59	6.42	6.25	6.14	5.98	5.87	5.76	5.59	5.48
135.0	6.75	6.59	6.42	6.31	6.14	6.03	5.87	5.76	5.65
180.0	7.31	7.09	6.92	6.75	6.59	6.48	6.31	6.14	5.98
225.0	6.86	6.70	6.59	6.42	6.25	6.14	5.98	5.87	5.70
270.0	7.09	6.86	6.75	6.59	6.42	6.31	6.14	5.98	5.87
315.0	6.92	6.70	6.59	6.42	6.31	6.14	6.03	5.87	5.76
360.0	6.75	6.64	6.48	6.37	6.20	6.03	5.92	5.81	5.65
C/γ(°)	72.0	73.0	74.0	75.0	76.0	77.0	78.0	79.0	80.0
0.0	5.54	5.42	5.31	5.15	5.04	4.87	4.76	4.59	4.48
45.0	5.54	5.42	5.26	5.15	5.04	4.93	4.76	4.65	4.54
90.0	5.31	5.20	5.09	4.98	4.87	4.71	4.59	4.48	4.37
135.0	5.48	5.31	5.20	5.09	4.93	4.87	4.71	4.59	4.54
180.0	5.81	5.70	5.59	5.42	5.26	5.15	5.04	4.93	4.76
225.0	5.65	5.42	5.37	5.20	5.09	4.93	4.82	4.71	4.59
270.0	5.76	5.65	5.48	5.31	5.20	5.04	4.93	4.82	4.65
315.0	5.59	5.48	5.31	5.20	5.09	4.98	4.82	4.71	4.59
360.0	5.54	5.42	5.31	5.15	5.04	4.87	4.76	4.59	4.48
C/γ(°)	81.0	82.0	83.0	84.0	85.0	86.0	87.0	88.0	89.0
0.0	4.43	4.32	4.21	4.10	4.04	3.99	3.87	3.82	3.82
45.0	4.43	4.32	4.21	4.10	4.04	3.93	3.87	3.82	3.76
90.0	4.26	4.15	4.10	3.99	3.93	3.87	3.82	3.71	3.71
135.0	4.37	4.32	4.21	4.10	3.99	3.93	3.87	3.82	3.76
180.0	4.65	4.48	4.37	4.32	4.21	4.10	3.99	3.93	3.87
225.0	4.43	4.37	4.26	4.15	4.04	3.93	3.93	3.87	3.82
270.0	4.54	4.43	4.32	4.21	4.10	4.04	3.93	3.87	3.82
315.0	4.48	4.37	4.21	4.15	4.04	3.99	3.93	3.82	3.76
360.0	4.43	4.32	4.21	4.10	4.04	3.99	3.87	3.82	3.82

Intensity data(cd)

C/γ(°)	90.0
0.0	3.76
45.0	3.76
90.0	3.71
135.0	3.76
180.0	3.82
225.0	3.76
270.0	3.76
315.0	3.71
360.0	3.76